

علمی-تخصصی

امکان سنجی روش‌های حرارتی ازدیاد برداشت جهت استخراج نفت سنگین در میدان کوه موند

بهروز ملاداویدی^{۱*}، دانیال ابوعلی^۲، سید محمدمهدى حسینی^۳

۱- کارشناسی ارشد مهندسی مخازن هیدرولیکبوری، دانشگاه علم و صنعت ایران

۲- کارشناسی ارشد مدیریت اجرایی (گرایش استراتژیک)، دانشگاه آزاد واحد یادگار امام (ره)

(دریافت: ۱۴۰۰/۱۰/۲۷، پذیرش: ۱۴۰۰/۱۰/۲۱)

چکیده

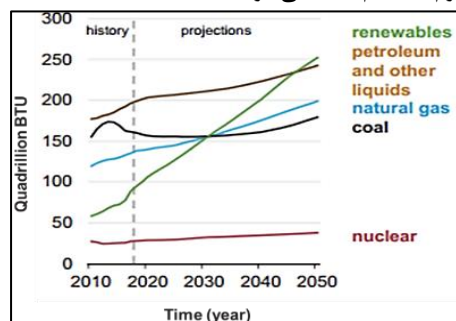
یکی از انواع منابع نفتی، نفت سنگین است که به علت چگالی و گرانبودی بالا، تنها با به کارگیری فناوری‌های پیچیده قابلیت برداشت اقتصادی دارد. در کشور ما نیز میزان قابل توجهی از منابع نفت سنگین وجود دارد. یکی از بزرگ‌ترین میدان‌های نفت سنگین کشور، کوه موند است. در این مقاله با استفاده از الگوریتمی مرحله‌ای و تلقیق مدل‌سازی‌های فنی-اقتصادی به کمک شبیه‌ساز اکلیپس و زبان برنامه‌نویسی متلب، بهینه‌ترین سناریوی برداشت از کوه موند معین گردید. الگوریتم مرحله‌ای شامل غربالگری، اعتبارسنجی مدل، و درنهایت، بهینه‌سازی تولید است. تابع هدف بهینه‌سازی ارزش خالص فعلی است که با تعییر پارامترهای بهینه‌سازی در طول مراحل مختلف حدس و خطابه کمک بهینه‌ساز شبیه‌سازی تبرید به میزان بهینه سراسری می‌رسد. خروجی مرحله غربالگری برای میدان کوه موند، فرایند تزریق متناوب است که از نظر اقتصادی نیز کمترین هزینه را در بین سایر روش‌های حرارتی دارد و فقط از یک چاه برای تولید و تزریق استفاده می‌کند. در مرحله اعتبارسنجی مدل از داده‌های میدان متشابه با کوه موند در آرژانتین (یاکیمنتو) استفاده شد و مدلی معتبر به دست آمد. در فاز نهایی، بهینه‌سازی که درواقع گلوگاه اصلی پروژه‌های تولید صیانتی است اجرا و تأثیر بسزایی در بالا بردن سود حاصل از مدل تزریق متناوب در میدان کوه موند نشان داد. افزایش ۲/۵ برابری نسبت به حدس اولیه برای پارامترهای عملیاتی مدل تک چاهی مدعای این مطلب است. همچنانی با ارتقاء مدل تک چاهی به مدل چند چاهی، افزایش ۱/۳ برابری در سودآوری مدل چند چاهی مشاهده شد.

کلیدواژه‌ها: نفت سنگین، ازدیاد برداشت حرارتی، تزریق متناوب بخار، بهینه‌سازی تولید، ارزش خالص فعلی

پائین) هستند که قابلیت تولید بالایی دارند اما روند نزولی در فرایند اکتشاف نفت سبک در دنیا (شکل ۲) و مصرف حجم عمده‌ای از آن‌ها برای برآوردن میزان تقاضای انرژی دنیا (شکل ۳) منجر به تخلیه شدن مخازن نفت سبک گردیده که ارزش تجاری بالا و فناوری تولیدی ساده دارند. طبق پیش‌بینی به عمل آمده از سال ۱۹۶۰ به بعد شاهد کاهش اکتشافات در منابع متعارف هستیم که سهم کوچکی از منابع نفتی تا سال ۲۰۳۵ را به خود اختصاص می‌دهند (توربرگ، ۲۰۱۲). لذا با توجه به رشد مصرف انرژی (شکل ۱) و کاهش اکتشافات منابع متعارف نفتی (شکل ۲)، برای پاسخگویی به نیاز جهانی باید سراغ منابع جایگزین مانند نفت سنگین رفت که در سال‌های آتی حجم بیشتری از مصرف جهانی نفت خام را به خود اختصاص خواهد داد (شکل ۳).

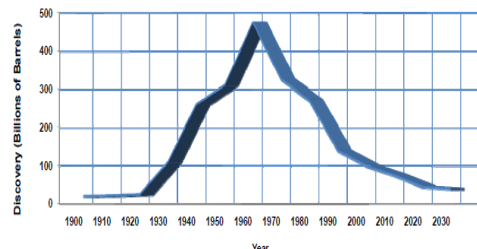
۱. مقدمه

افزایش پیوسته تقاضای انرژی در سطح دنیا (شکل ۱) که به واسطه توسعه اقتصادی و رشد جمعیت جهانی در دهه‌های اخیر ایجاد شده مصرف سوخته‌های فسیلی با محوریت نفت خام را همچنان در صدر قرار داده است. منابع نفت خام نیز خود به دو دسته کلی متعارف (معمولی، مرسوم) و نامتعارف (غیرمعمولی، غیرمرسوم) تقسیم‌بندی می‌شوند.

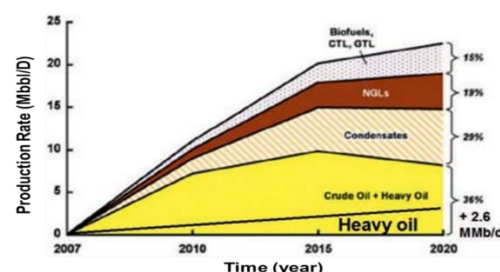


شکل (۱). مصرف جهانی انرژی
منابع متعارف نفتی درواقع نفت‌های سبک (نفت با چگالی

تقسیم‌بندی نمود. ترکیبات اشباع از اجزای غیر قطبی شامل هیدروکربن‌های اشباع راست زنجیر، شاخه‌دار و حلقوی تشکیل شده‌اند. آروماتیک‌ها شامل یک یا چند حلقه آروماتیکی هستند و نسبت قطبش پذیر هستند. دو جزء دیگر یعنی رزین و آسفالتین هر دو ترکیباتی قطبی هستند. تفاوت اصلی بین آن‌ها در این است که رزین‌ها در نرمال هپتان حل می‌شوند در حالی که آسفالتین‌ها غیرقابل حل در نرمال هپتان بوده و در عوض در تولوئن قابل حل می‌باشند. علاوه بر این، SARA شامل مقدار مشخصی نیتروژن، اکسیژن، گوگرد و عناصر فلزی است (مورازا و گالادیما، ۲۰۱۵). نفت سنگین دارای خواص و ویژگی‌های کاملاً متفاوتی نسبت به نفت سبک است که از جمله مهم‌ترین آن‌ها می‌توان به دشوارتر بودن تولید، انتقال و پالایش نفت سنگین در مقایسه با نفت سبک اشاره کرد که به علت ماهیت ویسکوز بودن این نوع از نفت است. نفت سنگین نسبت به نفت سبک دارای گرانروی و جگالی نسبی بالایی است. درواقع ویسکوزیته بالای نفت سنگین عملیات برداشت و پالایش را مشکل و هزینه‌بر می‌سازد. بخش کمی از نفت سنگین شامل ترکیبات فرار با وزن مولکولی پائین است و در عوض بخش عمده آن حاوی ترکیبات با وزن مولکولی بالا با فراری کمتر می‌باشد. این بخش از نفت سنگین شامل مجموعه پیچیده‌ای از ترکیبات مختلف مولکولی و شیمیایی است که دارای نقطه ذوب و ریزش بالایی هستند و منجر به تحرک کمتر نسبت به نفت خام معمولی می‌شوند و حاوی میزان گوگرد بیشتری نسبت به هزینه‌های پالایش نفت سنگین هستند که باعث افزودن به هزینه‌های اولیه برای وزن می‌شود. ترکیبات آسفالتینی ضرورتاً عامل اولیه برای وزن مخصوص بالای نفت سنگین نیستند و همچنین همواره عامل نخست در مشکلات تولید نیستند چراکه باید اجزای رزینی و آروماتیکی را نیز در نظر گرفت که هر دو این ترکیبات قابلیت به تأخیر اندازی جدایش ترکیبات آسفالتینی را در حین برداشت دارند. تنها وقتی که ترکیبات آسفالتینی از نفت جدا می‌شوند (تشکیل فاز جداگانه) در داخل فضای متخلخل سازند و زنجیره تولید رسوب می‌کنند. به صورت خلاصه عمدۀ تفاوت‌های نفت سنگین نسبت به سبک عبارت‌اند از درجه سنگینی پائین، نسبت هیدروژن به کربن کم، میزان بالای آسفالتین، فلزات سنگین، گوگرد و نیتروژن) [۱] و [۲]. شکل ۵ توزیع ذخایر جهانی نفت را نشان می‌دهد میزان منابع کلی نفت دنیا در حدود ۹ الی ۱۳ تریلیون بشکه برآورد شده که حدود ۷۰٪ این مقدار متعلق به نفت سنگین است که این رقم منعکس کننده اهمیت تولید نفت سنگین در آینده پیش رو است [۳].

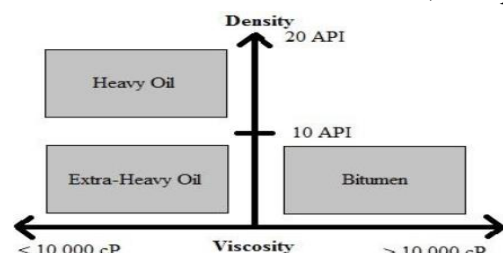


شکل (۲). تاریخچه و پیش‌بینی اکتشافات منابع جهانی متعارف نفتی



شکل (۳). میزان تولید انواع مختلف سوخت‌های فسیلی
(CERA منبع:)

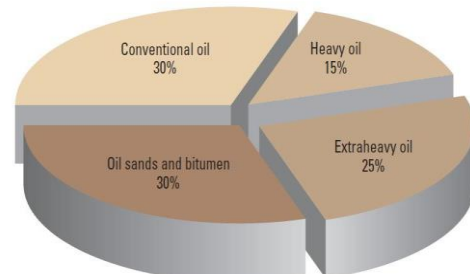
نفت سنگین، به نفت خامی اطلاق می‌شود که به‌راحتی جریان پیدا نمی‌کند و به‌واسطه درجه سنگینی (API) پائین و ویسکوزیته بالایی نسبت به سوخت‌های دیگر است. از این‌جا برای این نوع نفت، بالا بودن چگالی آن‌ها در مقایسه با نفت سبک است. با توجه به شکل (۴)، نفت سنگین، نفتی با درجه سنگینی بین ۱۰ تا ۲۰، نفت با درجه سنگینی کمتر از ۱۰ به عنوان نفت فوق سنگین و در صورت غیر متحرک بودن در شرایط مخزنی به عنوان بیتومن در نظر گرفته شده است (در این مقاله منظور از نفت سنگین به طور کلی هر نوع نفت با درجه سنگینی کمتر از ۲۰ است). به طور کلی نفت سنگین حاوی میزان قابل توجهی ترکیبات آسفالتینی (مولکول‌های بسیار بزرگ) است که در نمونه‌های مختلف نفت، دارای مقادیر متنوع از عناصر گوگرد، اکسیژن، نیتروژن و فلزات به‌ویژه نیکل و وانادیم است (نبیلو، ۲۰۱۶).



شکل (۴). طبقه‌بندی نفت‌های سنگین (نبیلو، ۲۰۱۶)

نفت سنگین عمدهاً هیدروکربن‌هایی با وزن مولکولی و نقطه جوش بالایی هستند. تعداد اتم‌های کربن اکثر این هیدروکربن‌ها بالای ۶۰ هست. ترکیبات تشکیل‌دهنده نفت سنگین را بر مبنای قطبیت و قطبش پذیری می‌توان به هیدروکربن‌های اشباع، آروماتیکی، رزینی و آسفالتینی (SARA)

تریلیون بشکه در ونزوئلا، ۶۰۰ بیلیون بشکه در روسیه، ۵۰۰ بیلیون بشکه در کالیفرنیا و آلاسکای آمریکا و حدود ۵۳۰ بیلیون بشکه در خاور میانه قرار دارد. بزرگ‌ترین مخازن نفت سنگین دنیا در شمال ونزوئلا قرار دارد؛ اما به طور کلی بیش از سی کشور دارای مخازن نفت سنگین هستند [۵].



شكل (۳). طبقه‌بندی توزیع ذخایر کلی نفت در جهان [۴].

حدود ۳ تریلیون بشکه از منابع نفت سنگین در کانادا، ۲ می‌دهد.

جدول (۱) میزان ذخایر نفت سنگین در کل دنیا را نشان

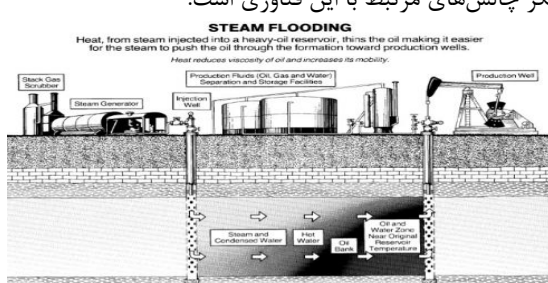
جدول (۱). میزان ذخایر اثبات شده و اثبات نشده نفت سنگین در دنیا [۶].

Country name	Fields (count)	Offshore (count)	Giant (count)	Unproved reserves (10E6 bbl)	Cumulative production (10E6 bbl)	Annual production (10E3 bbl)	Original reserves (10E6 bbl)	Undiscovered potential recovery (10E6 bbl)	Future potential recovery (10E6 bbl)
Albania	5	0	0	525.0	251.4	4045.1	215.6	525.0	180.0
Algeria	4	0	0	1000.0	35.6	639.0	29.1	46.0	46.0
Angola	4	1	0	56.00	43.1	53.9	99.1	415.0	415.0
Argentina	21	0	0	415.00	224.2	10830.3	639.2	115.0	115.0
Australia	4	2	0	115.00	0.0	115.0	115.0	121.0	121.0
Bahrain	2	0	0	121.00	103.2	1410.1	224.2	200.0	200.0
Bangladesh	1	0	0	0.00	0.00	0.00	0.00	0.00	0.00
Barbados	2	0	0	0.00	0.00	0.00	0.00	0.00	0.00
Bolivia	1	0	0	0.00	0.00	0.00	0.00	0.00	0.00
Bolivia	2	2	0	6461.00	519.3	35115.4	6980.3	428.0	2073.0
Bolivia	2	2	1	1330.00	1002.9	5787.0	2322.9	1584.0	2914.0
Bolivia	2	0	0	40.00	20.9	364.0	60.9	40.0	40.0
Bulgaria	2	0	0	121.00	133.0	13028.5	254.0	121.0	121.0
Cameroon	4	4	0	232.00	1605.7	116990.5	3306.6	3679.0	603.3
Canada	218	0	2	232.00	200.00	7038.2	19118.3	108686.0	120766.0
Chad	1	0	0	0.00	0.00	0.00	0.00	0.00	0.00
China	27	10	2	9838.00	750.6	46955.0	10588.6	6800.0	16638.0
Colombia	75	0	0	1645.00	914.8	32345.6	2559.8	428.0	2073.0
Costa Rica	4	4	0	227.00	80.0	101.0	3.0	2.0	2.0
Cuba	15	0	0	239.00	26.4	4157.3	265.4	239.0	239.0
Ecuador	62	0	0	1195.00	140.7	773981.0	1335.7	1195.0	1195.0
Egypt	53	11	1	1196.00	548.2	33688.4	1744.2	1196.0	1196.0
Former Soviet Union	12	2	1	120862.00	7038.2	10192.2	19118.3	108686.0	120766.0
France	10	0	0	5.00	3.5	31.3	8.5	5.0	5.0
Gabon	37	6	0	9.00	2.8	617.4	11.8	9.0	9.0
Germany	37	0	0	167.00	151.7	1538.3	318.7	167.0	167.0
Greece	1	1	0	1.00	1.0	0.0	0.0	0.0	0.0
Guatemala	4	0	0	6.00	1.3	650.9	7.3	6.0	6.0
Hungary	6	0	0	8.00	140.3	2241.0	310.3	8.0	8.0
Iceland	22	0	0	227.00	63.1	5440.0	300.1	217.0**	217.0**
Indonesia	58	13	1	4404.00	996.6	78329.3	5025.5	675.0	5070.0
Iran	9	3	1	3614.00	100.6	2652.0	3714.6	380.0	3994.0
Iraq	19	0	4	18556.00	1381.2	137500.0	19937.2	19432.0	37988.0
Ireland	1	0	0	0.00	0.0	6.7	4.0	466.2	466.2
Israel	1	0	0	0.00	0.0	0.0	0.0	0.0	0.0
Italy	34	13	0	700.00	357.2	24569.6	1057.2	10075.0	10775.0
Japan	12	0	0	51.00	41.5	390.0	92.5	51.0	51.0
Jordan	1	0	0	1.00	0.0	0.0	0.0	0.0	0.0
Kuwait	6	2	4	64980.00	21635.8	49175.9	86615.8	1502.0	66482.0
Libya	1	0	0	17.00	0.00	0.0	0.0	0.0	0.0
Madagascar	39	39	0	998.00	0.00	998.0	0.00	0.00	0.00
Malaysia	70	13	4	10910.00	2996.3	107976.0	139063.0	6300.0	17210.0
Mexico	2	0	0	0.00	0.00	0.00	0.00	5.0	5.0
Mongolia	1	1	0	3.00	3.3	20.0	6.3	830.0	833.0
Morocco	1	0	0	218.00	163.6	4609.1	381.6	218.0	218.0
Neutral Zone	1	1	0	3000.00	1333.2	4333.2	314.0	3314.0	3314.0
Norway	1	0	0	1.00	0.0	0.0	0.0	0.0	0.0
Nigeria	11	5	0	396.00	35.7	3457.6	431.7	3258.0	3654.0
Norway	3	3	0	575.00	55.6	266.1	55.6	575.0	575.0
Oman	33	0	0	1539.00	216.7	19887.0	1755.7	90.0	1629.0
Pakistan	3	0	0	16.00	8.8	613.1	24.8	160.0**	160.0**
Palestine	16	0	0	0.00	142.3	10392.5	387.3	150.0	150.0
Philippines	1	1	0	5.00	0.00	0.0	0.0	5.0	7.0
Poland	3	0	0	7.00	0.00	0.0	0.0	0.0	0.0
Qatar	2	2	1	706.6	17538.0	1806.6	360.0	10260.0	10260.0
Romania	5	0	0	41.00	48.1	20662.0	89.1	41.0	41.0
Saudi Arabia	55	0	4	9900.00	596.0	42807.0	1046.0	360.0	360.0
Senegal	1	1	0	10.00	0.00	10.0	10.0	10.0	10.0
Slovakia	4	0	0	6.00	4.5	12.0	10.5	6.0	6.0
South Africa	2	2	0	10.00	0.00	0.0	0.0	10.0	10.0
Spain	3	3	0	57.00	55.6	266.1	55.6	57.0	57.0
Iran	6	0	0	181.00	0.00	0.0	0.0	18.0	18.0
Suriname	3	0	0	6.00	7.9	1529.0	70.9	63.0	63.0
Syria	36	0	0	1836.00	251.0	22946.0	2087.0	1836.0	1836.0
Taiwan	1	0	0	0.00	0.0	0.0	0.0	0.0	0.0
Thailand	6	0	0	1.00	0.3	47.9	1.3	500.0	501.0
Trinidad and Tobago	9	3	1	1536.00	1254.4	19492.8	2794.0	346.0	1882.0
Tunisia	1	1	0	7.00	0.00	0.0	0.0	7.0	7.0
Turkey	19	0	0	301.00	148.7	7025.5	449.7	301.0	301.0
United Kingdom	13	13	1	2025.00	912.6	34609.1	2937.6	9000.0	11025.0
United States	349	5	7	4020.00	10603.6	202356.4	14624.0	4314.0	8334.0
Venezuela	109	6	15	4067.00	30961.3	417227.2	7161.3	206300.0	34697.0
Vietnam	1	1	0	25.00	0.00	0.0	0.0	25.0	25.0
Yemen	1	1	0	10.00	0.00	0.0	0.0	10.0	10.0
Yugoslavia	27	0	0	172.00	77.7	3836.0	249.7	172.0	172.0
Total	1638	183	52	209629.29	88850.0	2442613.9	298454.2	485474.2	695103.5
Canada bitumen	12	0	3	458.00	293.0	54686.9	751.0	169622.4	170080.4
Grand total	1650	183	55	210087.29	89143.0	2497500.8	299205.2	655096.6	865183.9

برداشت ثالثی تقسیم می‌گردند. شکل (۶)، مراحل برداشت اولیه میدان‌های نفتی را نشان می‌دهد.

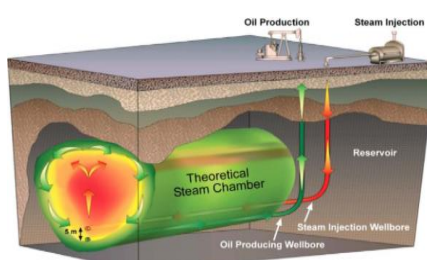
مخازن نفت سنگین به خاطر گرانروی بالا، برداشت اولیه قابل توجهی ندارند، از این‌رو برای برداشت مؤثر از چنین مخازنی ضرورت کاهش گرانروی نفت احساس می‌شود. یکی از راه‌ها برای نیل به این هدف استفاده از فناوری‌های ازدیاد برداشت است. قبل از بحث راجع به فناوری‌های ازدیاد برداشت، باید گفت که به صورت کلی مراحل تولید از یک میدان نفتی با در نظر گرفتن ترتیب زمانی به سه مرحله برداشت اولیه، برداشت ثانویه و

بالا و درجه API پائین به کاررفته می‌رود اما برای نفت‌های سبک‌تر نیز قابل استفاده است. از محدودیت‌های مهم این فناوری، دانسته سیار کم بخار نسبت به آب و نفت است که منجر به پدیده رو راندگی می‌شود. همچنین کنترل پویایی نیز مشکل دیگر این فرایند است که به علت گرانروی کمتر بخار نسبت به آب و نفت روی می‌دهد. اتلاف گرما، مشکلات عملیاتی در دماهای بالا و نشت آلاینده‌های ناشی از تولید بخار در سطح از دیگر چالش‌های مرتبط با این فناوری است.



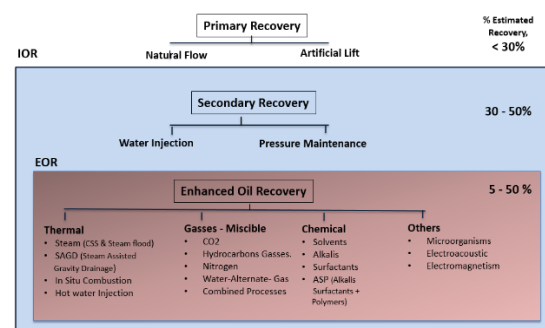
شکل (۶). تزریق بخار

در فناوری SAGD، بخار از یک چاه افقی در بالای یک چاه تولیدی افقی افقي می‌شود. فاصله بین دو چاه به میزان گرانروی نفت بستگی دارد و با افزایش آن کاهش می‌یابد اما به طور کلی بین ۳ تا ۱۰ متر است. ماهیت این فناوری، شامل گرم کردن و جابجایی نفت سرد با بخار است. سازوکارهای این فرایند، شامل میان بخار در سطح مشترک، ریزش نفت و میانات به چاه زیرین با نیروهای گرانشی و رشد ناحیه بخار به سمت بالا و طرفین است. از محدودیت‌های این روش می‌توان به کاهش تراوایی به دلیل میان آب و همچنین مشکلات تحرک پذیری و رشد سریع محفظه بخار به سمت بالا اشاره کرد. این فناوری برای میدان‌هایی که نفت با گرانروی بالا دارند بسیار مؤثر است. شکل (۹) طرح‌واره‌ای از SAGD را نشان می‌دهد.



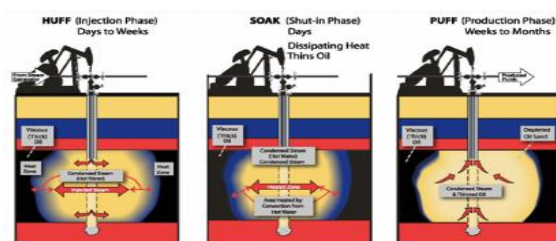
شکل (۷). فناوری SAGD

روش دیگر، احتراق درجا است که با تولید خودیه‌خود احتراق در مخزن موجب تولید انرژی حرارتی می‌شود. اکسیژن، به صورت هوا یا به صورت جزئی خالص شده در سطح، متراکم و به طور پیوسته (روش خشک) و گاهی اوقات همراه با آب (روش تر)



شکل (۴). مراحل برداشت از میدان‌های نفتی

بر مبنای طبقه‌بندی‌های موجود در روش‌های ازدیاد برداشت، این فناوری‌ها عمدتاً در قالب سه دسته حرارتی، شیمیایی و امتزاجی دسته‌بندی می‌شوند. پرکاربردترین روش مورداستفاده در بهره‌برداری از نفت سنگین روش‌های حرارتی است که شامل تحریک بخار^۱ (تزریق متناوب بخار)، سیلان زنی بخار^۲، سیلان زنی آب داغ^۳ و احتراق درجا^۴ است. سیلان زنی با آب داغ از فناوری‌های کمتر متداول است. فناوری تزریق متناوب، روشی تک چاهی است و در آن بخار برای یک مدت معین به درون چاه تولیدی تزریق می‌شود (شکل (۵)). سپس چاه برای مدتی بسته می‌شود که به نام مرحله خیساندن معروف است. در مرحله بعد، همان چاه که در مرحله خیساندن به کاررفته است، برای تولید بازشده و تا زمانی که میزان جریان تا حد معینی کم شود تولید ادامه می‌یابد، سپس تمام روش مجدد تکرار می‌شود. سازوکارهای فعال در این فناوری، کاهش گرانروی و متورم شدن نفت است. اثر جمعی این سازوکارها بر روی نفت‌های سنگین‌تر با گرانروی زیاد بیشتر است.



شکل (۵). تزریق متناوب بخار

در روش تزریق بخار (شکل ۸)، بخار از چاه‌های تزریقی موجود وارد مخزن شده و سیالات به سمت چاه‌های تولیدی با الگوهای معینی که حفر شده‌اند، حرکت می‌کنند. سازوکارهای تولید در این روش، کاهش گرانروی، متورم شدن نفت، تخلیه بخار و رانش بخار می‌باشند. این فناوری برای نفت‌های با گرانروی

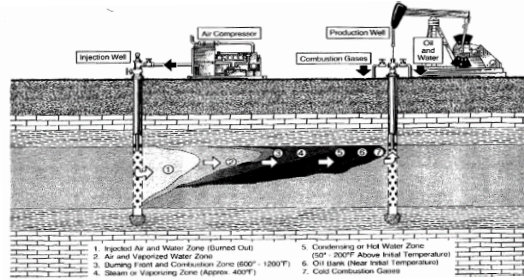
¹ Steam Stimulation (SS)² Steam Flooding (SF)³ Hot Water Flooding (HWF)⁴ In Situ Combustion (ISC)

اما در این مقاله با استفاده از الگوریتم بهینه‌سازی شبیه‌سازی تبرید و شبیه‌سازی اکلیپس این مشکلات تا حد مطلوبی مرفوع گردیده است.

اولین کاربرد تزریق متناوب بخار در نزوئلا (سال ۱۹۵۹) روی داد [۷]. بعد از مشاهده افزایش تولید، به عنوان فناوری برداشت حرارتی پرکاربرد در طول زمان به کار گرفته شد. روش تزریق متناوب روشی است که به خاطر ارزانی، سادگی و مؤثر بودن آن در اکثر میدان‌های نفت سنگین واجد شرایط به کار گرفته شده است. تاریخچه استفاده از آن در میدان‌های کلد لیک و ولف لیک از کشور کانادا به ترتیب به سال ۱۹۷۵ و ۱۹۸۲ و در میدان‌های کالیفرنیای آمریکا نیز به سال ۱۹۸۲ بر می‌گردد [۸]. در سال ۱۹۸۴ دورکسن و همکاراش پایلوت تزریق چرخه‌ای بخار را در منطقه کلد لیک طراحی کردند. بخار در فشاری بالاتر از فشار مخزن تزریق شد و ضربی برداشت در حدود $6/3$ درصد به دست آمد. مدل‌سازی صورت گرفته توسط آنان برای تولید نفت و نسبت بخار به نفت تولیدی در چرخه‌های ابتدایی، تطابق مناسبی را نشان داد [۹].

اولین تلاش‌ها برای تزریق بخار در مخازن نفت سنگین، در حدود ۴۳ سال پیش آغاز شد. به عنوان اولین گروه، دیلاپووق و پارتس در سال ۱۹۷۴ پایلوتی را برای آزمایش فرایند جدیدی جهت برداشت از مخازن بیتومون در پیس ریور (غرب کانادا) طراحی کردند. فرایند بازیابی از روی آزمایش‌های میدانی توسعه یافته بود. همچنین دیلاپو روش پیشنهادی آن‌ها همان فرایند سیلان زنی بخار به همراه افزایش فشار، جهت به دست آوردن برداشت بهینه بود [۱۰]. پایلوت تزریق بخار در میدان نفتی والکوپا در ایتالیا در سال ۱۹۸۵، گامی برای آغاز استفاده از فرایند سیلان زنی آب و بخار (آب داغ) بود که توسط چیزیکی و همکارانش صورت گرفت. کودر نیز در مخزن مورد مطالعه، کربناته شکافدار و حاوی نفتی با درجه سنگینی ۱۶–۲۶ بود. برای تعیین میزان بازدهی فرایند تزریق بخار در این میدان، آزمون‌های سیلان زنی آب داغ بر روی مغذه‌ای از مخزن، در مقیاس آزمایشگاهی در دماهای مختلف انجام شد. آزمایش‌های بسیار ساده طراحی شده بودند و هدف، مشاهده تغییرات درجه اشباع نفت مخزن در اثر تزریق آب داغ بود [۱۱]. کودره و همکاران در سال ۱۹۹۳، مطالعاتی بر روی پایلوت تزریق بخار در میدان نفتی امداد واقع در سواحل غربی آفریقا انجام دادند. ویسکوزیته نفت در شرایط مخزن ۱۰۰ سانتی پویز بود. هدف از سیلان زنی بخار، گردش بخار در مخزن و خروج نفت به کمک سازوکارهای تبخیر پذیری، انبساط حرارتی و کاهش ویسکوزیته نفت بود. آزمایش

تزریق می‌شود. در این فناوری (شکل ۱۰)، بخشی از نفت به صورت کک روی سنگ مخزن رسوب می‌کند و به عنوان سوت در این فناوری به کار می‌رود. سازوکارهای برداشت، شامل کاهش گرانزوی با گرمای دادن، بخار شدن سیالات و کراکینگ حرارتی است. چالش اصلی در این فناوری، کنترل جبهه احتراق است که امکان دارد به صورت غیریکنواخت در مخزن حرکت کند و تماس ناچیز حجمی با مخزن را منجر شود.



شکل (۱۰). فناوری احتراق درجا

در این مقاله، با استفاده از الگوریتم مرحله‌ای فرایند غربالگری تا بهینه‌سازی انجام می‌گردد، به این صورت که ابتدا با استفاده از داده‌های میدان کوه موند، مرحله اول (غربالگری) انجام می‌شود. در این مرحله با استفاده از داده‌های سیال و مخزن کوه موند، غربالگری اولیه انجام شد. بعدازاین مرحله، اعتبارسنجی مدل در دستور کار قرار گرفت اما از آنجاکه میدان کوه موند تاکنون فرایند حرارتی ازدیاد برداشت را تجربه نکرده از داده‌های میدان متشابه با خواص کوه موند برای تولید مدلی معتبر استفاده گردید. سپس از این مدل برای بهینه‌سازی فرایند منتخب مرحله غربالگری برای میدان کوه موند استفاده گردید. از ویژگی‌های مهم فرایند بهینه‌سازی این مقاله در مقایسه با سایر مطالعات انجام شده، الگوریتم بهینه‌سازی به کار گرفته شده و تعداد پارامترهای بهینه‌سازی است. الگوریتم بهینه‌سازی در این مقاله شبیه‌سازی تبرید است که به علت ویژگی‌هایی که دارد تقریباً تنها الگوریتمی است که می‌تواند بهینه سراسری را پیدا کند، حال آنکه در اکثر مطالعات انجام شده الگوریتم بهینه‌سازی محدود به نقاط محلی بوده و توانایی یافتن بهینه سراسری را ندارند. همچنین تعداد پارامترهایی که برای بهینه‌سازی در این مقاله به کار گرفته شده تمامی پارامترهای عملیاتی و قابل تغییر به دست اپراتور (دبی تولید نفت، دبی تزریق بخار، مدت زمان تزریق، مدت زمان خیساندن، کیفیت بخار تزریقی، دمای بخار تزریقی و تعداد سیکل‌های تزریق و تولید) را شامل می‌شود؛ اما بررسی مطالعات انجام شده نشان می‌دهد که عموماً تعداد پارامترهای بهینه‌سازی از پنج پارامتر بیشتر نبوده که به دلایل پیچیدگی محاسبات بهینه‌سازی و ترکیب بهینه‌ساز با شبیه‌ساز بوده است؛

فرایند غربالگری درواقع بررسی احتمال موفقیت یا شکست فرایندهای متین از دیاد برداشت و رتبه‌بندی آن‌ها بر روی میدان موردنظر (در اینجا کوه موند) با استفاده از پایگاه داده جمع‌آوری شده از پروژه‌های از دیاد برداشت در سراسر دنیا است که به روش‌های مختلفی صورت می‌پذیرد. یکی از این روش‌ها استفاده از نرم‌افزار EORgui است که توسط دیارتمان اتریش امریکا توسعه داده شده است. با استفاده از این نرم‌افزار و ارائه داده‌های مخزن-سیال موردنظر موجود در داخل نرم‌افزار فرایند غربالگری صورت می‌پذیرد. بعد از مرحله غربالگری، با توجه به اینکه در کشور هنوز هیچ فرایند از دیاد برداشت (تزریق گاز و آب جزء روش‌های از دیاد برداشت نیستند) به صورت تجاری صورت نپذیرفته است برای ساخت مدل معتبر نیاز به اطلاعات تاریخچه تولید میدان موردنظر است نا با انجام فرایند تطابق تاریخچه بتوان برای پیش‌بینی سناریوهای مختلف توسعه میدان از مدل معتبر شده استفاده کرد؛ اما از جایی که اطلاعات تولیدی میدان به علت متوجه شدن (عدم تولید تجاری) در منابع وجود نداشت، تاریخچه تولید مخزنی (میدان یا کیمیتو در آرژانتین) با خواص مشابه با میدان کوه موند که مورداً جرای فرایند تزریق متناسب بخار قرار گرفته را در قالب مدل مبتنی بر شبیه‌ساز اکلیپس (ماژول حرارتی) مطابقت داده تا بدین‌وسیله مدلی معتبر تهیه گردد. بعد از مرحله تطابق تاریخچه، با توجه به شباهت خواص مخزنی و سیالی میدان یا کیمیتو و کوه موند، داده‌های میدان کوه موند را وارد مدل معتبر کرده و فرایند آنالیز حساسیت‌سنجی پیاده‌سازی شد. در این مرحله پارامترهای عملیاتی فرایند منتخب شامل دبی تزریق بخار، دبی تولید نفت، زمان تزریق، زمان خیساندن، دمای بخار تزریقی و کیفیت بخار موربدرسی و ارزیابی قرار گرفتند که بیشترین تأثیر مربوط به دبی تولید نفت و تزریق بخار است. همچنین مقایسه فرایند تزریق متناسب بخار با فرایند تولید طبیعی (تولید با استفاده از انرژی خود مخزن) در قالب ارزیابی فنی و اقتصادی صورت پذیرفت که نشان‌دهنده ارجحیت فنی و اقتصادی فرایند تزریق متناسب بخار است. در مرحله نهایی مهم‌ترین گلگاه موجود در فرایندهای مختلف تولیدی از جمله از دیاد برداشت که فرایند بهسازی تولید است در قالب مدلی تلفیقی (مدل فنی-اقتصادی) صورت پذیرفت که با ترکیب الگوریتم بهینه‌سازی شبیه‌سازی تبرید و شبیه‌ساز اکلیپس به‌واسطه برنامه‌نویسی در محیط متلب انجام شده است.

۱-۳- ساخت مدل

میدان نفت سنگین کوه موند به دلیل داشتن مخازن نسبتاً کم عمق در اولویت تولیدی شدن قرار دارند (میانگین ۱۵۰۰ متر).

های تزریق بخار و آب داغ در مقیاس آزمایشگاهی انجام شد. این آزمایش‌ها بر روی مغزه‌های همگن صورت گرفت. سیالاب زنی بخار نیز بر روی مغزه‌های مشابه انجام پذیرفت و میزان بازیابی حدود ۸۴/۵ درصد به دست آمد [۱۱]. در سال ۱۹۹۵ هارتمینک و همکارانش جهت طراحی طرح آزمایشگاهی تزریق بخار در میدان قرن علم در عمان از شبیه‌سازی مخزن استفاده کردند. هدف، افزایش میزان اثر گرانش نفت سنگین موجود در مخازن کربناته بود. مکان‌های تزریق با استفاده از نتایج این شبیه‌سازی معین گردید [۱۲]. جانسون و شاهین در همان سال، با استفاده از بازیابی اولیه و سیالاب زنی، بخش کوچکی از میدان جنوبی بحریج شامل ۲/۵ میلیارد بشکه نفت درجا را موردمطالعه قراردادند. نتایج آن‌ها نشان داد که با وجود تراوایی کم، فرایند تزریق بخار با توجه به ضخامت ۱۰۰ فوتی مخزن، تخلخل حدود ۵۳ درصد و اشباع نفت بالای ۷۳ درصد گزینه مناسبی برای استخراج نفت است [۱۳]. مکالی و همکاران (۱۹۹۵) طرح آزمایشگاهی تزریق بخار را دریکی از مخازن کربناته نفت سنگین میدان قرن علم طراحی نمودند. این مخزن حاوی ۲۱۳ میلیون مترمکعب نفت سنگین با درجه سنگینی ۱۶ و ویسکوزیته ۲۲۰ سانتی پویز بود. نتایج آن‌ها نشان داد که با استفاده از تزریق بخار، ضربی برداشت بیش از ۲۰ درصد انتظار می‌رفت که با توجه به ابهامات زیادی که در شرایط عملیاتی وجود داشت، انتظارات برآورده نشد (مکالی و همکاران، ۱۹۹۵). پاسکال در سال ۲۰۰۱ اولین طرح آزمایشگاهی را روی میدان لاس پرالز در کشور آرژانتین طراحی نمود. او به بررسی نفوذپذیری و ویسکوزیته پرداخت. نتایج به دست آمده نشان داد که برای هر روش برداشت موفق لازم است ویسکوزیته نفت خام جهت افزایش تحرک پذیری آن کاهش یابد [۱۴].

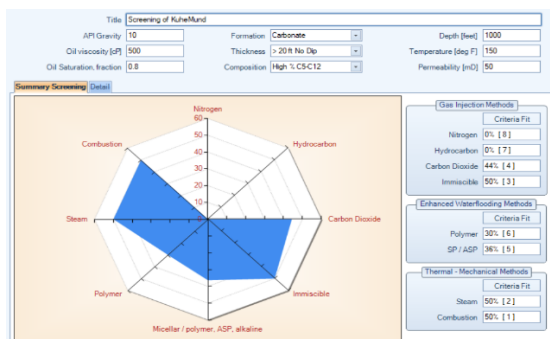
فناوری احتراق درجا تولید حرارت به‌واسطه اشتعال در داخل مخزن است در غالب ۲ پروژه در هند، ۳ پروژه در کانادا و ۴ پروژه در آمریکا و تعدادی نیز در ونزوئلا کاربرد پیداکرده است (میر، ۱۹۹۷). همچنین این فناوری به صورت تجاری در رومانی نیز به کاررفته و ضربی بازیافت را تا حدود ۵۰ درصد افزایش داده است. سایر فناوری‌های مشتق شده از این روش مانند THAI در کانادا، آمریکا، اندونزی و هند نیز اجراشده است [۱۵].

۲. روش پژوهش

روش به کار گرفته شده در این مقاله روش کلی است که قابلیت تعیین به هر نوع میدان-مخزنی را دارد. برای امکان‌سنجی روش‌های مختلف از دیاد برداشت ابتدا باید غربالگری انجام داد.

مقدار	خاصیت
۱۰۰۰	عمق مخزن (ft)
۳۰۰	ضخامت ناحیه تولیدی (ft)
۱۰	درجه API

نتیجه غربالگری برای میدان کوه موند در شکل (۱۳) موجود است. همان طور که انتظار می‌رفت روش‌های حرارتی جزء اولین روش‌های پیشنهادی برای این میدان هستند؛ اما از آنچاکه فناوری احتراق درجا بسیار پیچیده بوده، پروژه‌های کمتری نسبت به تزریق بخار در دنیا را شامل می‌شود و همچنین مدل‌سازی این فرایند عدم قطعیت‌های زیادی دارد، فرایندهای مبتنی بر تزریق بخار در اولویت هستند. در میان فرایندهای مبتنی بر تزریق بخار، فرایند تحریک حرارتی چاه دارای اولویت بیشتری است چراکه در اکثر پروژه‌های اجرایی دنیا برای ارزیابی اولیه و بعضًا اجرا در مقایس میدانی از سناریوهای تک چاهه استفاده می‌کنند که هزینه حفر چاه جدید را حذف نمایند. فرایند تحریک حرارتی نیز از این دست است و یک چاه هم نقش تزریق و هم نقش تولید را بر عهده دارد. به علت تزریق چرخه‌ای و تأثیری که در ناحیه نزدیک چاه دارد (ناحیه‌ای با بیشترین قابلیت تحويل دهی سیال به درون چاه) هم حجم کمتری از بخار را در مقایسه با تزریق پیوسته بخار برای تزریق نیاز دارد و هم اینکه به سوخت کمتری برای تولید حجم بخار لازم برای عملیات تحریک حرارتی نیاز دارد.



شکل (۱۱). نتیجه غربالگری برای کوه موند

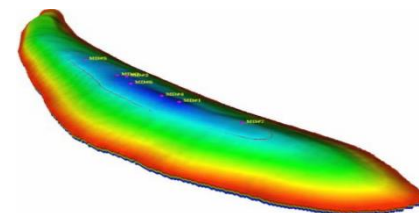
۳-۲- اعتبارسنجی مدل حرارتی

مدل تحریک حرارتی که در شبیه‌ساز اکلیپس معرفی شده را برای تعیین اعتبار مدل، با داده‌های یکی از چاههای تحت طرح آزمایشگاهی تحریک حرارتی میدان نفت سنگین یاکیمنتو آرژانتین مورد تنظیم و اعتبارسنجی قرار داده می‌شود. این میدان در حوضه رسوی سن جرج در استان سانتا کروز آرژانتین واقع گردیده است. طرح آزمایشگاهی حرارتی برای اولین بار در این میدان در سال ۱۹۹۹ در چاه ۸۰۴ به صورت موفقیت‌آمیزی

میدان کوه موند به صورت تاقدیسی بوده و ابعاد بزرگی دارد. نفت این مخزن در کنار دریا قرار دارد و این موقعیت یک امتیاز محسوب می‌شود. عملیات اکتشاف و تعیین ساختار کوه موند با حفر اولین چاه در سال ۱۳۰۹ آغاز گردید. متعاقباً در طول سال‌های ۱۳۳۷ تا ۱۳۵۵ چهار حلقه چاه دیگر با هدف ارزیابی وضعیت افق‌های پایین‌تر و همچنین مخزن گازی، حفاری و در سال ۱۳۶۴ ششمین چاه برای استحصال نفت سنگین و در سال ۱۳۶۵ چاه هفتم با عملکرد توصیفی برای تعیین حدود مخزن حفاری شد. پس از ایجاد طرح توسعه میدان‌های نفت سنگین، اطلاعات به دست آمده از این مخزن تکمیل تر و مشخص شد که سازند سروک و سازند گچساران عمدۀ سطح این میدان را تشکیل داده‌اند. مطالعات نشان داد نفت سروک درجه API بین ۱۴ تا ۱۶ را دارد که در ارزیابی‌های بعدی مشخص شد، API نفت سروک پایینی بین ۱۰ تا ۱۲ و نفت سروک بالایی بین ۱۴ تا ۱۸ است. گفتنی است، میدان کوه موند در ۸۰ کیلومتری جنوب شرقی بوشهر و در کرانه خلیج فارس است (شکل ۱۱ و شکل ۱۲).



شکل (۹). موقعیت جغرافیایی میدان کوه موند (Google Earth)



شکل (۱۰). نمایش ۳ بعدی مخزن [۱۶]

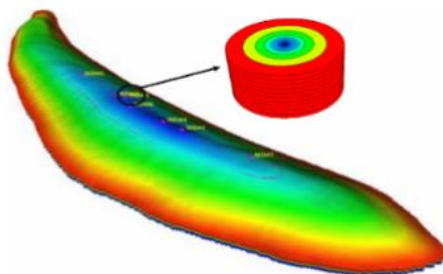
با استفاده از اطلاعات در دسترس از میدان کوه موند فرایند غربالگری برای این میدان با استفاده از نرم‌افزار EORgui انجام شد [۱۶]. اطلاعات اولیه کوه موند در جدول (۲) موجود است.

جدول (۲). اطلاعات اولیه میدان کوه موند [۱۶]

مقدار	خاصیت
۱۴۰۰	فشار اولیه (psi)
۱۵۰	دماه اولیه (°F)
۲۰	اشبع اولیه آب (%)
۱۲	تخلخل (%)
۵۰	تراوایی (md)

۳-۳- بهینه‌سازی مدل تحریک حرارتی برای میدان کوه موند

فرایند بهینه‌سازی در این پژوهش، با تلفیق دو مدل فنی (مدل معتبر شده کوه موند) و اقتصادی (مبتنی بر پارامتر ارزش خالص فعلی (NPV) به عنوان تابع هدف بهینه‌سازی) صورت گرفت [۲۱]. در این فاز ابتدا مدل پایه با توجه به خواص کوه موند دستخوش تغییر شده، سپس با کدنویسی در نرمافزار متلب فایل داده‌ای موردنیاز برای اجراهای مختلف به صورت اتوماتیک تولید و در مرحله بعد با الگوریتم بهینه‌سازی SA ترکیب می‌گردد. پارامترهای تحت بهینه‌سازی، پارامترهای عملیاتی زمان تزریق بخار، زمان خیساندن، دبی تزریق بخار، دبی تولیدی نفت، دمای تزریق بخار، کیفیت بخار و تعداد سیکل‌ها هستند. سکتور انتخابی برای شبیه‌سازی فرایند تحریک حرارتی بخار در شکل ۱۵ نشان داده شده است. دلیل انتخاب سکتور استوانه‌ای شبیه‌سازی فرایندی است که مبتنی بر عملکرد تک چاه بوده و محدوده عملکردش نیز با توجه به شعاع ناحیه ریزش چاه در حوالی نزدیک چاه است که بهترین قالب شبکه‌ای برای شبیه‌سازی در چنین حالتی فرم استوانه‌ای است.



شکل (۱۳). سکتور انتخاب شده جهت پیش‌بینی فرایند تحریک حرارتی از میدان کوه موند

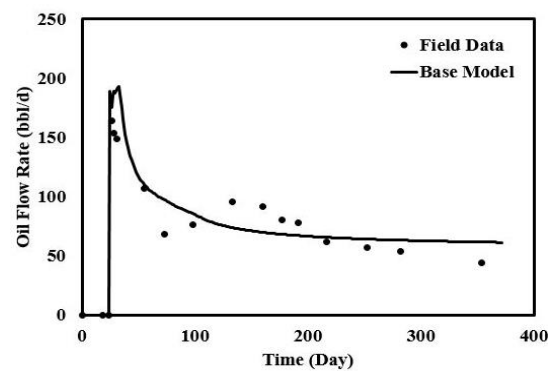
پولی که اکنون در اختیار است، ارزشمندتر از پولی است که در آینده جمع خواهد کرد؛ زیرا از طریق راه اندازی کسب و کار یا خرید چیزی به منظور فروش آن باقیمت بالاتر در آینده یا صرفاً باز کردن حساب سپرده در بانک و دریافت سود، می‌توان از پول کنونی برای به دست آوردن پول بیشتری استفاده کرد. دلیل دیگر پایین‌تر بودن ارزش پول در آینده، تورم است، چون تورم موجب کاهش ارزش خرید آن پول می‌شود. این همان چیزی است که به آن، ارزش زمانی پول می‌گویند. ولی دقیقاً چگونه می‌توان ارزش پول در امروز را بالرزش آن در آینده مقایسه کرد؟ این همان جایی است که محاسبه NPV به کار می‌آید. در عمل، ارزش فعلی خالص روشی برای محاسبه نرخ بازگشت سرمایه مربوط به یک پژوهه یا سرمایه‌گذاری است. با در نظر گرفتن تمام پولی که انتظار دارید از آن سرمایه‌گذاری به دست بیاورید و بیان آن بازگشت سرمایه بر اساس ارزش پول امروز، می‌توانید مشخص

صورت گرفته است. داده‌های مربوط به ویژگی‌های سنگ و سیال و تاریخچه تولید این میدان در جدول ۳ گنجانده شده است [۱۷].

جدول (۳). اطلاعات اولیه میدان یاکیمنتو [۱۸]

خاصیت	مقدار
فشار اولیه (psi)	۱۲۰۰
دمای اولیه (°F)	۱۱۰
اشبع اولیه آب (%)	۱۵
تخلخل (/)	۲۸
تروابی (md)	۵۰۰
عمق مخزن (ft)	۱۵۰۰
ضخامت ناحیه تولیدی (ft)	۱۲۰
بازه زمانی تولید اولیه (سال)	۱
دمای بخار تزریقی (°F)	۴۵۰
کیفیت بخار تزریقی	۰/۷
بازه زمانی تزریق بخار (روز)	۱۸
زمان خیساندن (روز)	۷
زمان تولید ثانویه (روز)	۳۴۸

با استفاده از داده‌های فوق و تنظیم برخی از پارامترهای عملیاتی (عدم قطعیت) تطابق مناسبی بین مدل پیشنهادی و داده‌های ثبت شده میدانی (شکل ۱۴) به دست آمده آمد. این فاز برای اعتباربخشی به مدل پیش‌گویانه و بهینه که در فاز بعدی برای میدان کوه موند مورد استفاده قرار می‌گیرد، وارد پژوهه شده است. با این مدل، سازوکارهای حاکم در فرایند تحریک حرارتی میدان آرژانتین که شباهت ساختاری با میدان کوه موند در منطقه نفت سنگین دارد، شناسایی می‌گردد و می‌توان از این مدل معتبر شده برای تسری نتایج به میدان کوه موند استفاده نمود [۱۹].



شکل (۱۲). مدل معتبر شده به کارفته به همراه داده‌های میدانی [۲۰.]

$$CF_i = R_i - E_i \quad (5)$$

$$R_i = P_i^{HO} * Q_i^{HO-Pro} \quad (6)$$

$$E_i = C_i^{W-Pro} * Q_i^{W-Pro} + C_i^{S-Inj} * Q_i^{S-Inj} \\ + (A_i^{HO-Pro} + C_{Op-i}) * Q_i^{HO-Pro} \quad (7)$$

در معادلات بالا، CF_i ، جریان نقدی پرژه در سال i ام از شروع پرژه است که شامل دو عبارت R_i و E_i است. R_i درامد حاصل از فروش نفت؛ E_i ، هزینه های عملیاتی پرژه که شامل هزینه های مربوط به اصلاح آب تولیدی ($C_i^{W-Pro} * Q_i^{W-Pro}$)، $(C_i^{S-Inj} * Q_i^{S-Inj})$ ، فراز آوری نفت سنگین از درون چاه به سمت سطح و سایر هزینه های عملیاتی است [۲۳].

عبارت $((A_i^{HO-Pro} + C_{Op-i}) * Q_i^{HO-Pro})$ ، هزینه اصلاح آب به ازای هر بشکه آب تولیدی (C_i^{S-Inj})، هزینه تزریق بخار به ازای هر بشکه از بخار تزریقی (A_i^{HO-Pro})، هزینه فراز آوری به ازای هر بشکه نفت (C_{Op-i}) و سایر هزینه های عملیاتی به ازای هر بشکه نفت است. تمامی چهار پارامتر مطرح شده به عنوان داده های ورودی از کاربر گرفته می شود.

عبارت Q_i^{W-Pro} حجم کل آب تولید شده سال i ام، عبارت Q_i^{S-Inj} حجم کل بخار تزریق شده سال i ام، (C_{cap}^{Pro}) حجم کل نفت تولید شده سال i ام است. C_{cap} و $C_{facility}$ هزینه های سرمایه ای پرژه که شامل دو عبارت $C_{Drilling}$ است که در شروع فرایند بهینه سازی به عنوان داده های ورودی از کاربر گرفته می شود. سرمایه موردنیاز برای نصب واحد تولید بخار و $C_{Drilling}$ ، هزینه موردنیاز برای حفر چاه و تکمیل آن است. نتایج حاصل از این مقاله بعد از اجرای ۱۰۰ شبیه سازی و تلفیق الگوریتم بهینه سازی و شبیه سازی میزان تغییری در حدود ۲/۵ برابر (از ۱/۷ میلیون دلار در اولین حدس به ۳/۸ میلیون دلار در مرحله نهایی) در میزان NPV پرژه به دست آمد که در شکل (۱۶) مشخص است. همچنان روند تغییرات در میزان تولید نفت و آب، هزینه و درآمد جاری پرژه در شکل های (۱۷) و (۱۸) مشخص شده است.

کنید که آیا آن پرژه ارزشمند است یا خیر. وقتی مدیری باید پرژه های مختلف را با یکدیگر مقایسه کند و تصمیم بگیرد کدام پرژه را انجام دهد، به طور کلی سه گزینه وجود دارد: نرخ بازده داخلی؛ روش محاسبه بازگشت سرمایه (معادله ۱)؛ و NPV (معادله ۲).

$$ROI = \frac{\text{Total Revenue} - \text{Total Cost}}{\text{Total Cost}} \quad (1)$$

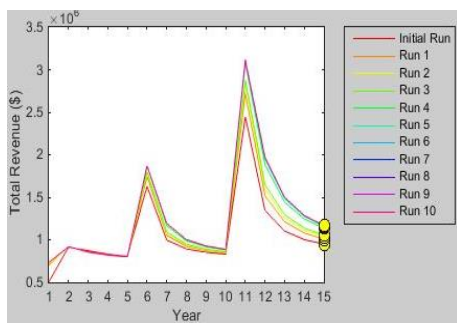
$$NPV = \sum_{i=1}^n \frac{\text{Total Cashflow of Year } i}{(1 + \text{Discount Factor})^i} \quad (2)$$

نرخ بازده داخلی نیز برابر با ضریب تنزلی است که NPV را برابر صفر می نماید. به گفته نایت، NPV ابزار انتخاب بیشتر تحلیلگران مالی است [۲۲]. این مسئله دو دلیل دارد: نخست، در محاسبه ارزش خالص فعلی، ارزش زمانی پول در نظر گرفته می شود و جریان های نقدی آینده بر اساس ارزش پول امروز بیان می شود؛ دوم، با محاسبه ارزش خالص فعلی، رقم دقیقی به دست می آید که مدیران می توانند با استفاده از آن، مبلغ سرمایه گذاری شده نقدی اولیه را به آسانی با ارزش فعلی بازگشت سرمایه مقایسه کنند. آنچه موجب استفاده بیشتر از روش محاسبه بازگشت سرمایه می شود، آسان بودن محاسبه و درک آن است، چون تنها کافی است محاسبه کنید چه زمانی می توانید پولی را که سرمایه گذاری کردید، دوباره به دست بیاورید. ولی در روش محاسبه بازگشت سرمایه، به این مسئله توجه نمی شود که قدرت خرید امروز پول، بیشتر از قدرت خرید همان میزان پول در آینده است و همین مسئله موجب می شود ارزش خالص فعلی، روش بهتری باشد. با توجه به مطالب بیان شده، تابع هدف فرایند بهینه سازی پرژه، NPV است. مدل مورداستفاده برای تبیین NPV پرژه که شامل هزینه ها و درآمدهاست، بر مبنای تجزیه هزینه ها به دو دسته عملیاتی و غیرعملیاتی (سرمایه ای) و درامد پرژه بر اساس فروش نفت است چرا که در مدل میدان کوه موند گازی برای فروش وجود ندارد. با توجه به اینکه میدان کوه موند، میدانی بالغ است، برای مدل سازی تابع هدف از معادلات ۳ الی ۷ استفاده شده است.

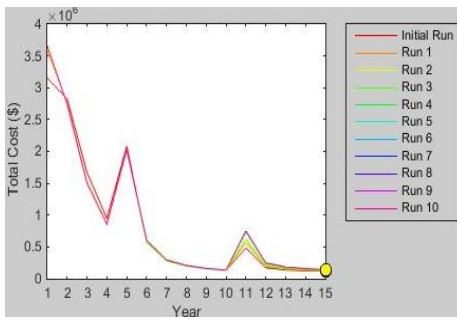
$$NPV = \left(\sum_{i=1}^n \frac{CF_i}{(1+r)^i} \right) - C_{cap} \quad (3)$$

$$C_{cap} = C_{facility} + C_{Drilling} \quad (4)$$

شکل (۱۷). روند تغییر میزان تولید آب (دبی تولید، د؛ تولید کلی، ج) و نفت (دبی تولید، ب؛ تولید کلی، الف) در طول بهینه‌سازی



(الف)



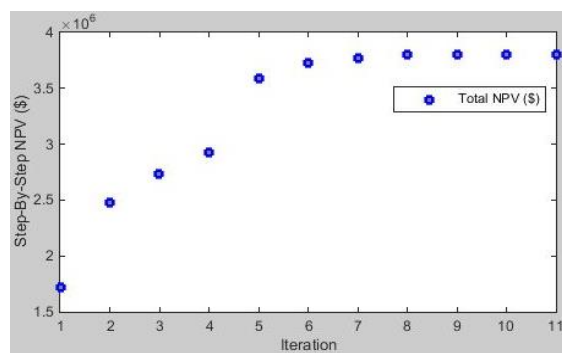
(ب)

شکل (۱۸). روند تغییر میزان درآمد (الف) و هزینه (ب) پروژه تزریق متناوب تک چاهه در طول بهینه‌سازی

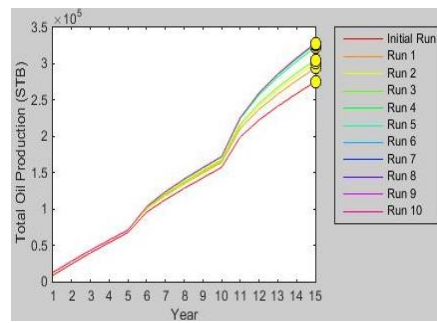
جدول (۴). اطلاعات اولیه میدان یاکیمنتو

حدس و خطأ	دبی نفت	دبی تزریق بخار	دبی تزریق بخار	زمان تزریق	زمان خیساندن	کیفیت بخار	دمای تزریق بخار
مرحله آغازین	۱۷۰۰	۱۳۰۰	۱۵	۱۵	۱۹	۰/۷۸	۷۶۰
مرحله نهایی	۲۰۰۰	۱۱۳۰	۵۰	۵۰	۲۰	۰/۹	۵۴۰

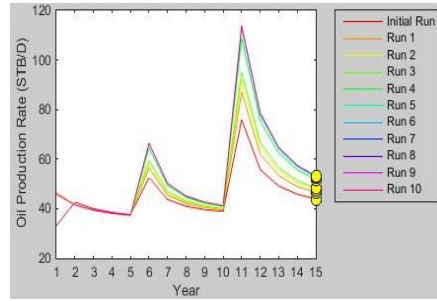
جدول (۴) نیز تغییر در پارامترهای بهینه‌سازی فناوری تزریق متناوب بخار تک چاهه را از حدس اولیه تا مرحله نهایی مشخص می‌سازد. تغییرات NPV مربوط به تعمیم فرایند تزریق متناوب از تک چاه به چند چاه (مدل بلوکی پنج- نقطه‌ای) در شکل (۱۹) موجود است که میزان تغییری در حدود $1/3$ برابر (از ۷۰ میلیون دلار در اولین حدس به ۹۱ میلیون دلار در مرحله نهایی) را نشان می‌دهد.



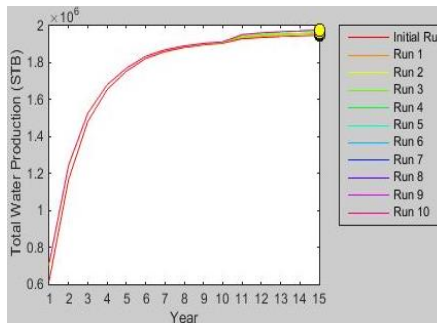
شکل (۱۴). روند تغییر در میزان NPV پروژه تزریق متناوب تک چاهه



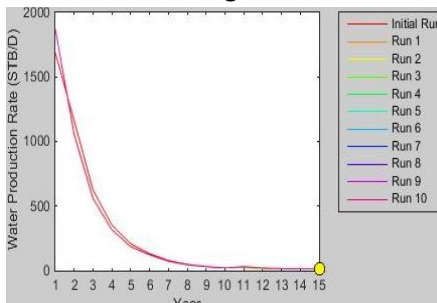
(الف)



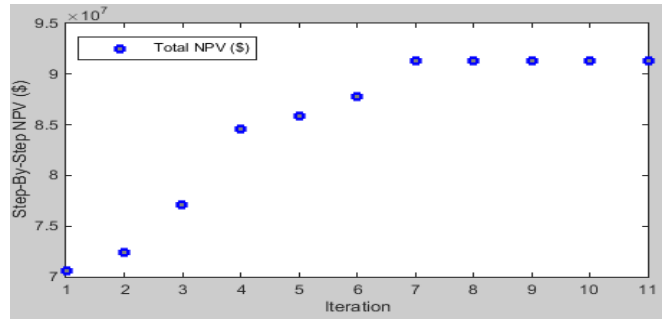
(ب)



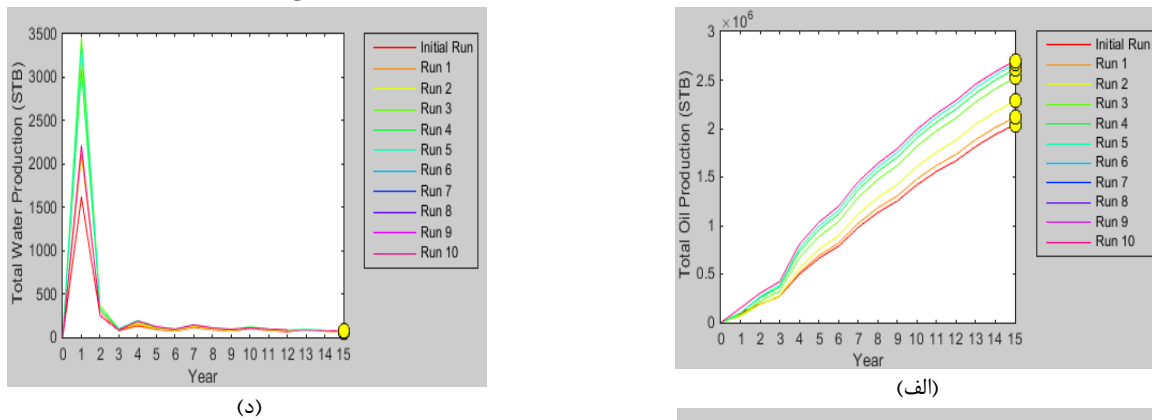
(ج)



(د)



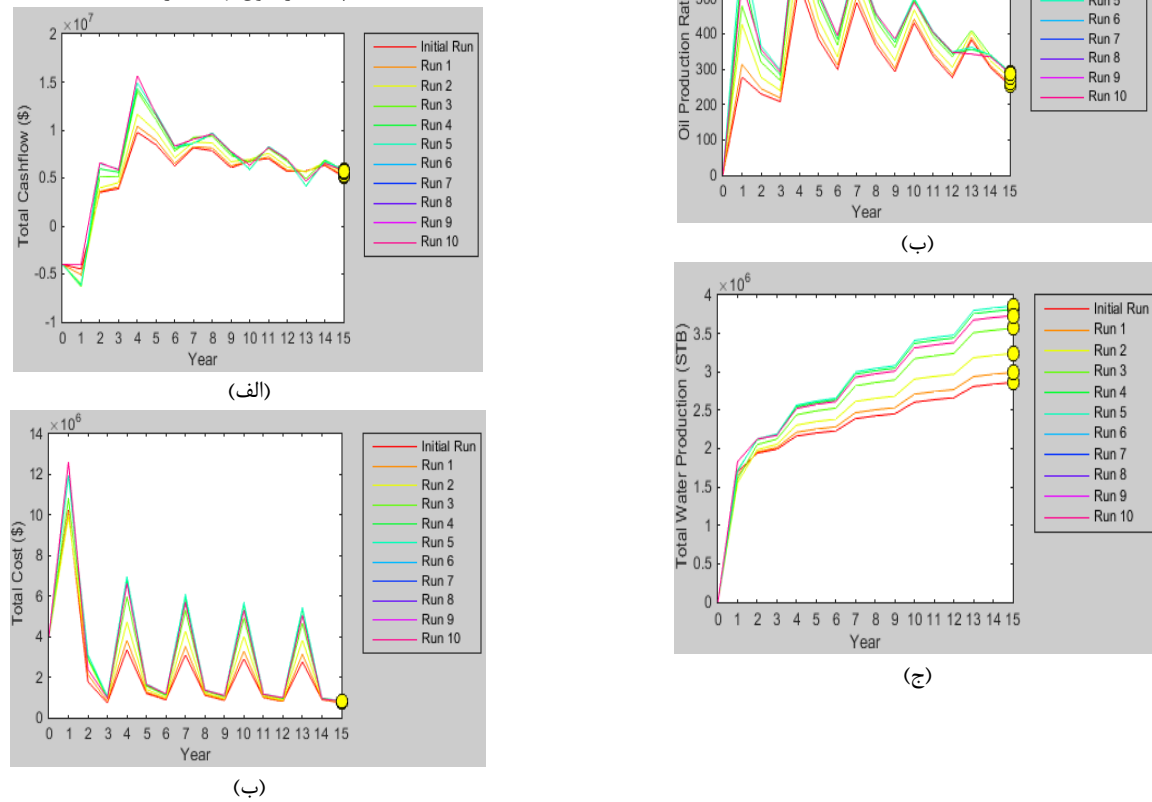
شکل (۱۵). روند تغییر در میزان NPV فناوری تزریق متناوب چند چاهی



شکل (۲۰). روند تغییرات میزان تولید نفت (دبی تولید، ب؛ تولید کلی،

الف) و آب (دبی تولید، د؛ تولید کلی، ج) پروژه تزریق متناوب چند

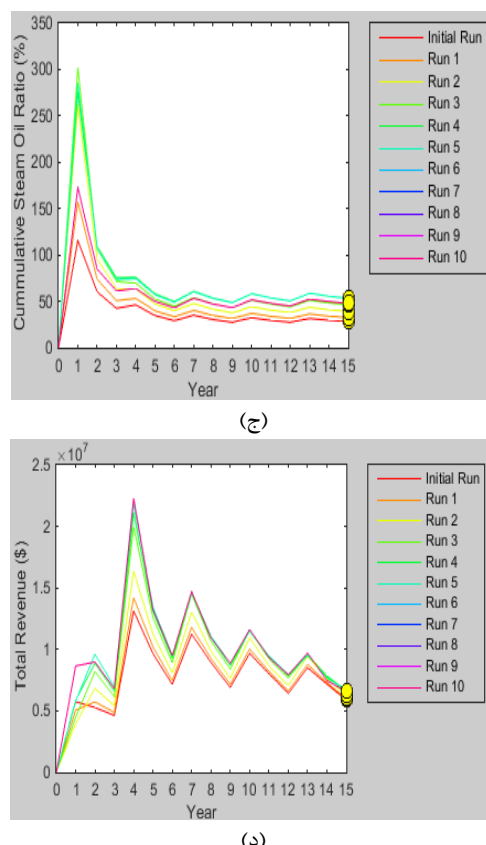
چاهه در طول بهینه‌سازی



روش‌های ازدیاد برداشت، روشهای حرارتی به علت گستردگی استفاده در میدان‌های نفت سنگین دنیا در اولویت برنامه‌ریزی قرار دارند. در مورد میدان کوه موند نیز نتایج غربالگری نشان می‌دهد که روشهای حرارتی در اولویت قرار دارند و مشاهدات جزئی‌تر ناشی از نتایج شبیه‌سازی‌های صورت گرفته می‌توان اظهار کرد که به کارگیری فناوری حرارتی می‌تواند منجر به تولید اقتصادی از میدان‌های نفت سنگین (در اینجا، کوه موند) گردد، بهنحوی که در مدل تک چاه میزان سودآوری خالص پرتوزه $\frac{3}{8}$ میلیون دلار و در مدل چند چاهه، ۹۱ میلیون دلار برآورد گردید.

۵. مراجع

- [1] I. E. Agency and C. Besson, "Resources to reserves: oil & gas technologies for the energy markets of the future", 2005.
- [2] J. Ancheyta and J. G. Speight, "Hydroprocessing of heavy oils and residua", CRC Pres, 2007.
- [3] C. Boyer, J. Kieschnick, R. Suarez-Rivera, R. E. Lewis and G. J. O. R. Waters. "Producing gas from its source." vol. 18, 36-49. 2006.
- [4] R. F. Meyer, "World Heavy Crude Oil Resources.", 15th world petroleum congress, World Petroleum Congress, 1997.
- [5] R. F. Meyer and D. K. Olsen, "Heavy Oil-a Major Energy Source for the 21st Century", Petroleum Industry Press, 1998.
- [6] A. Chierici, D. Delle Canne and O. Properzi, "Steam drive in a fractured carbonate: The Vallecupa, Italy, pilot plant." Proceedings of the Third European Meeting on Improved Oil Recovery, Rome, Italy, 1985.
- [7] R. L. Trebolle, J. P. Chalot, and R. Colmenares, "The Orinoco Heavy-Oil Belt Pilot Projects and Development Strategy." Society of Petroleum Engineers, 1993.
- [8] J. Chang, "Understanding HW-CSS for Thin Heavy Oil Reservoir." SPE Heavy Oil Conference-Canada, Society of Petroleum Engineers 2013.
- [9] J. H. Duerksen, G. W. Cruikshank and M. L. J. J. o. p. t. Wasserman, "Performance and simulation of a cold lake tar sand steam-injection pilot." vol. 36, 1984
- [10] J. Dillabough and M. J. O. G. J. Prats, "Recovering bitumen from Peace River deposits." vol. 72, 1974.
- [11] B. M. Couderc, J. Verpeaux, D. Monfrin and U. H. J. S. R. E. Quettler, "Emeraude Vapeur: A steam pilot in an offshore environment." vol. 5, pp: 508-516, 1990.
- [12] M. Hartemink, B. Escovedo, J. Hoppe and R. Macaulay, "Qarn Alam: Application of Simulation for Steam Pilot Design in a Fractured Reservoir." IOR 1995-8th European Symposium on Improved Oil Recovery, 1995.
- [13] R. Johnston and G. Shahin, "Interpretation of Steam Drive Pilots in the Belridge Diatomite." SPE Western Regional Meeting, Society of Petroleum Engineers, 1995.
- [14] M. Pascual, "Cyclic Steam Injection Pilot", Yacimiento Los Perales. SPE Latin American and Caribbean Petroleum Engineering Conference, Society of Petroleum Engineers, 2001.
- [15] K. Safinya, "Heavy oil Recovery." Alberta Oil, vol 4, 2008.
- [16] A. Nabilou, "Best Method for Enhanced Oil Recovery from Sarvak Reservoir and Analyse Sensitive Parameters.", 105, 2016.



شکل (۲۱). روند تغییرات هزینه (ب)، درآمد (پاد)، درآمد خالص (الف) و نسبت تجمعی بخار به نفت (د) در طول بهینه‌سازی

همچنین روند تغییرات در میزان تولید نفت و آب، هزینه و درآمد جاری پرتوزه در شکل‌های (۲۰ و ۲۱) مشخص شده است. جدول (۵) نیز تغییر در پارامترهای بهینه‌سازی فناوری تزریق متناوب بخار چند چاهه را از حدس اولیه تا مرحله نهایی مشخص می‌سازد.

جدول (۴). اطلاعات اولیه میدان یاکیمنتو

دما تزریق بخار	دما تزریق بخار	زمان تزریق	زمان خیساندن	کیفیت بخار	دی نفت	حدس و خطأ
۷۳۷	۰/۷۸	۲۵	۱۸	۸۸۰	۱۵۷۸	مرحله اغازین
۴۴۷	۱	۴۰	۱۵	۱۲۸۷	۱۵۰۳	مرحله نهایی

۴. نتیجه‌گیری

به خاطر ویژگی‌های منحصر به فرد نفت سنگین نسبت به نفت سیک از جمله ویسکوزیته بالا و درجه سنتگینی پائین نمی‌توان از روشهای متعارف تولید استفاده کرد بلکه باید سراغ فناوری‌های نوین تولید مانند روشهای ازدیاد برداشت رفت. در میان

- [17] R. Macaulay, J. Krafft, M. Hartemink and B. Escovedo, "Design of a steam pilot in a fractured carbonate reservoir-Qarn Alam field", Oman. SPE International Heavy Oil Symposium, Society of Petroleum Engineers, 1995.
- [18] R. F. J. J. P. S. t. S. o. R. a. Meyer, "Heavy oil and natural bitumen." 63, 2003.
- [19] O. Muraza and A. J. F. Galadima, "Aquathermolysis of heavy oil: A review and perspective on catalyst development." vol. 157, pp: 219-231, 2015.
- [20] J. G. Speight, "The chemistry and technology of petroleum", CRC press, 2014.
- [21] S. B. Suslick, D. J. Schiozer, F. Nepomuceno and R. Furtado, "Forecasting the development of heavy-oil reserves in ultra-deep waters using technological risk models.", SPE Hydrocarbon Economics and Evaluation Symposium, Society of Petroleum Engineers, 2003.
- [22] O. Trevisan, A. Lisboa, F. França and W. Trindade, "Oil production in offshore fields: An overview of the Brazilian technology development program", World Heavy Oil Conference, 2006.
- [23] Tverberg, "Oil supply limits and the continuing financial crisis." vol. 37, pp: 27-34. 2012.

